

## Numerical investigation of swelling soil behavior and its effect on gas well casing internal forces based on unsaturated soil mechanics, case study: Khangiran, Sarakhs

Mehrab Balighi, Mohammad Saleh Baradaran , Ali Akhtarpour \*

Department of Civil Engineering, Faculty of Engineering, Ferdowsi University of Mashhad, Mashhad, Iran

**ABSTRACT:** The majority of building and infrastructure projects are typically situated on soils that have a greater elevation than the underlying water table. As a consequence, these soils exist in an unsaturated state, resulting in the development of matric suction inside them. The manipulation of soil saturation levels significantly influences its mechanical and hydraulic characteristics. Swelling soils refer to a type of soil that undergoes volumetric expansion as a result of moisture absorption and a subsequent decrease in matric suction. Hence, this matter gives rise to irreversible harm in the realm of infrastructure, transportation networks, and facilities such as oil and gas. This study focuses on the numerical analysis and discussion of the swelling soil surrounding a gas well located within the Khangiran gas refinery. The findings from the numerical simulation demonstrated that, at the critical juncture of the steel pipe within the well structure, the tensile force induced by soil expansion infiltrates the surrounding area. To withstand this force, the design and permissible thickness of the well pipe can be evaluated using two approaches: load coefficients-resistance and allowable resistance. The action is permissible. The findings indicate that the thicknesses obtained are relatively small, thereby suggesting that there is no significant risk associated with soil swelling and the resultant tensile force exerted on the well casing. However, it is important to note that the durability of the good body's steel material over time is crucial in preventing breakage due to soil swelling-induced tension.

### Review History:

Received: Aug. 17, 2023

Revised: Apr. 13, 2024

Accepted: Jun. 08, 2024

Available Online: Jul. 04, 2023

### Keywords:

Swelling Soil

Unsaturated Soil Mechanics

Numerical Modelling

Khangiran Sarakhs Gas Zone

Gas Well

## 1- Introduction

Expansive soils undergo volume changes based on water content, especially swelling types due to clay minerals like smectite, which absorb water [1]. Their behaviour in unsaturated states is critical due to potential structural damage. Al-Yaqoub et al. [2] examined loading rates, types, and overburden's effect on soil deformation, noting decreased swelling pressure with more cycles and higher initial moisture. Zhang and Feng [3] found matric suction increases from 100 to 200 kPa raised deviatoric stress in unsaturated clay at higher pressures. Trinh [4] used GeoStudio to model rainfall-induced swelling, affirming reliable predictions with coupled and uncoupled methods. Rajeev and Kodikara [5] used FLAC 3D for soil-pipe interactions in swelling soils, matching experiments. Al-Juari et al. [6] compared swelling pressures in retaining walls, revealing reduced effects with depth. Nadi Yezdi et al. [7] used apparatus to study cement's role in lowering swelling pressure. This research models the volume change behaviour of a specific expansive soil under varying matric suctions and confining pressures using GeoStudio. Objectives include assessing the effects of suction and pressure on soil around Khangiran gas wells, the

impact of annual rainfall, tensile forces on well casings, and the likelihood of casing failure over time.

## 2- Materials and Methods

### 2- 1- Soil Properties

The soil used in this study was collected from the Khangiran operational area of Iran's largest oil industry (Figure 1).

Based on initial tests on the collected soil samples, the soil was classified as CL according to the Unified Soil Classification System (USCS). Additional tests and standards provided further soil specifications, summarized in Table 1. Given the Atterberg limits obtained, the soil's relative swelling potential is moderate based on various criteria. The soil's grain size distribution is shown in Figure 2.

The soil-water characteristic curve (SWCC) was determined using unsaturated consolidation, following Nadi Yazdi et al. [7] (Figure 3). The air entry value (AEV) is 49 kPa, with Aubertin et al.'s modified Kovacs method predicting an AEV of 53 kPa, close to the lab result. Figure 3 shows good agreement with curves from three-bar and five-bar pressure plate tests.

\*Corresponding author's email: akhtarpour@um.ac.ir



Copyrights for this article are retained by the author(s) with publishing rights granted to Amirkabir University Press. The content of this article is subject to the terms and conditions of the Creative Commons Attribution 4.0 International (CC-BY-NC 4.0) License. For more information, please visit <https://www.creativecommons.org/licenses/by-nc/4.0/legalcode>.



**Fig. 1. Geographical location of the soil of the studied area [7]**

**Table 1. Characteristics of the soil [7]**

Test	Specification	Result
Soil Gradation	ASTM D422-63	Passing percentage of sieve #200 = 91.43%
Density of solid grains	ASTM D854	2.7
In situ Soil moisture	ASTM D2216-19	19%
Atterberg limits	ASTM D4318	PL=23 % , LL=42%
Apparent specific gravity	ASTM D1556/1556M	1.837
Gypsum (%)	ASTM C25-19	3.212

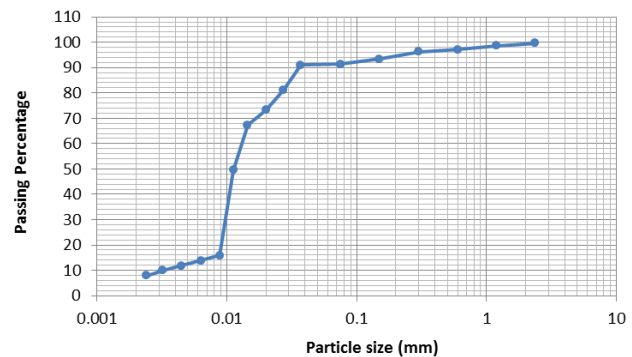
## 2- 2- Numerical Modeling

Gas well modelling in this region considers a groundwater level 13 meters below ground, influenced by soil suction post-rainfall (100 kPa, down from 130 kPa pre-rain). Modelling excludes saturated depths unaffected by rain-induced swelling. The process involves two stages: analyzing soil stress without the well and simulating well drilling and steel casing placement (Figure 4a). The outer casing is 26 inches in diameter, with the gas well at 7 inches. The steel casing, 1.61 cm thick, is stainless steel with a tensile strength of 655 MPa, exceeding ST37 steel's yield strength of 362 MPa. Rainfall moistens the upper soil, lowering suction. Soil is divided into upper (100 kPa suction) and lower (50 kPa suction) sections for precise calculations. The model spans 5 years, 258 days (50,000 hours), stabilizing water conditions and observing swelling effects. Figure 4b illustrates the final model incorporating climate conditions. Boundaries prevent movement, showing soil swelling-induced height changes without steel casing shear forces.

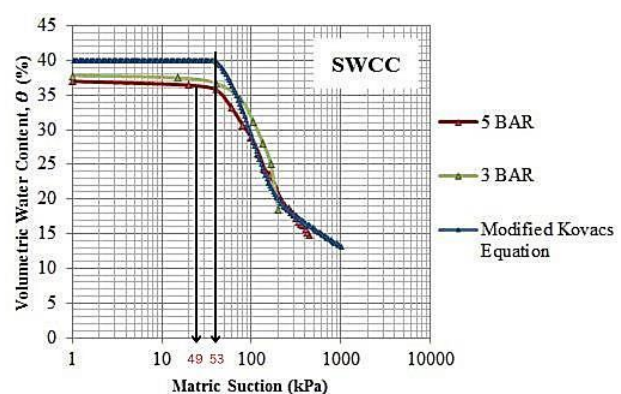
## 3- Results and Discussion

### 3- 1- Soil Effective Elasticity Modulus

The elastic modulus due to pre-rainfall swelling and during gas well construction is calculated using triaxial



**Fig. 2. Particle size distribution of the studied [7]**

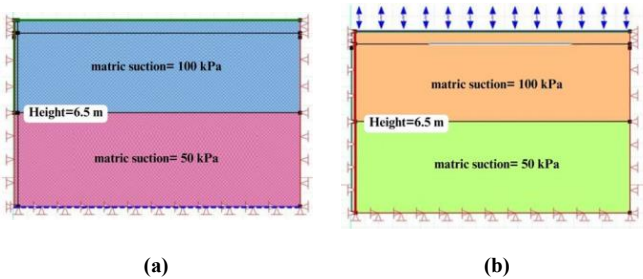


**Fig. 3. Soil-water characteristic curve (SWCC) of the studied soil [7]**

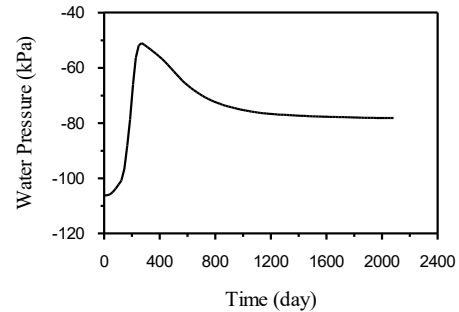
unsaturated test results. With initial moisture content ( $w$ ) at 19%, volumetric moisture content ( $\theta$ ) is estimated at 29%, corresponding to a soil suction of 100 kPa. Triaxial tests at 100 kPa suction determine the soil's elastic modulus 7 m above ground, while at 6 meters depth, the average suction is 50 kPa. The Hyperbolic model is applied for modulus calculation, revealing that higher soil suction increases modulus, indicating greater stiffness and reduced displacement. The relationship between soil elastic modulus and post-rainfall effective stress is illustrated in Figure 5.

### 3- 2- Pore Water Pressure in Soil

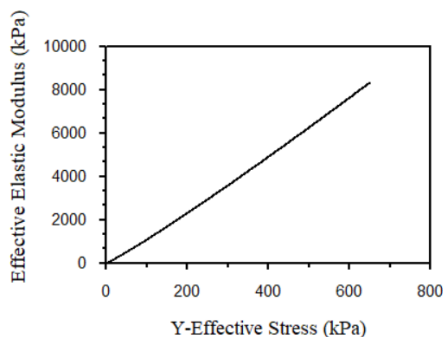
After constructing and analyzing the model per the Materials and Methods, a specific point 2 meters deep at the model's centre is selected to study pore water pressure and displacements in the soil. Using precipitation data from September 2018 to September 2019. From day 1 to 240 days post-rainfall start, both pressure and suction decrease, reflecting peak soil moisture. Subsequent heat and reduced rainfall until September increase soil dryness, stabilizing pore pressure around 1600 days, indicating stable water flow. Figure 6 confirms water flow effects from a year of rainfall dissipate after about 1600 days, with analysis extended to 2083 days.



**Fig. 4. A view of the built model and soil division, (a) before and (b) after flow analysis**



**Fig. 6. Diagram of pore pressure changes over time at the desired point**



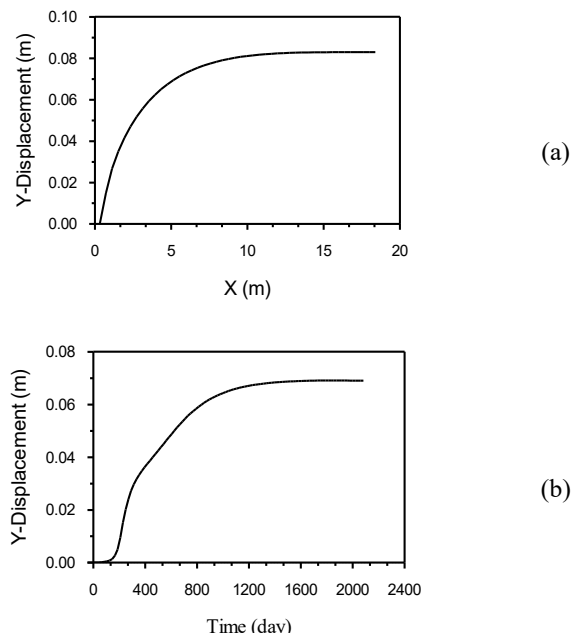
**Fig. 5. Diagram of the effective modulus of elasticity versus the effective vertical stress after flow analysis**

### 3- 3- Soil Displacements

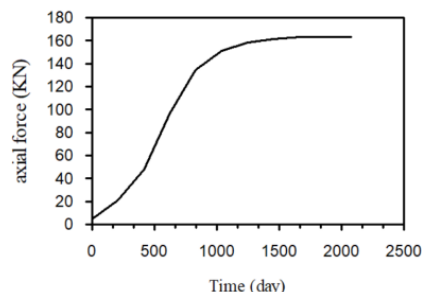
Significant swelling occurred in the modelled soil after 2083 days of modelling. Approximately 5.8 cm of swelling was observed over 13 meters, constituting 0.70% of the total model. Figure 7(a) shows that vertical displacements stabilize beyond approximately 15 meters horizontally from the casing. Figure 7(b) illustrates a vertical displacement over time at a depth of two meters in the model's centre. Swelling continues due to water infiltration for up to 1600 days, followed by stabilization, indicating no further swelling.

### 3- 4- Forces in the Well Steel Body

Figure 8 illustrates axial force distribution in the steel casing after one, two, and three years. Changes in axial force reveal varying soil behaviour influenced by suction and shear resistance. Increased soil suction increases stiffness and reduces displacement, lowering axial forces in the top six meters of the casing due to swelling. This reduction contributes to fractures observed in axial force diagrams over time along the casing. After 1600 days, soil water flow stabilizes, halting further swelling and fixing axial forces. The maximum axial force, 163 kN, occurs at the critical point. The current 1.61 cm steel thickness proves adequate against soil-induced tensile stresses, barring extensive corrosion, aligning with prior studies [8-9].



**Fig. 7. (a) vertical displacement diagram along the horizon, (b) vertical displacement diagram over time**



**Fig . 8. Diagram of axial force overtime for the critical point in the steel body of the well**

#### 4- Conclusions

This study focused on numerical modelling of the soil around a gas well in Khangiran, Sarakhs. The modelling considered the region's climate from late 2018 to mid-2019, determining soil swelling and tensile forces on the steel casing of the well, and identifying the minimum required thickness to withstand these forces. Key findings are summarized below:

- Before rainfall, soil matric suction was 130 kPa. It takes about 3.4 years for rainfall to fully impact soil swelling to a depth of 13 m, with annual swelling of 8.49 cm.
- Swelling is minimal near the well but increases with distance, peaking further away.
- The gas well structure enhances soil stiffness within a 15-meter radius.
- Maximum tensile force of 163 kN occurs at the steel casing's lowest point, 13 m deep, due to swelling-induced forces.

#### References

- [1] Cui, Y. J., Ferrari, A., Gallipoli, D., Jommi, C., Laloui, L., Pirone, M., ... & Wheeler, S. Unsaturated soil mechanics. International Society of Soil Mechanics and Geotechnical Engineering, 2004.
- [2] Al-Yaqoub, Thamer H., Jafarali Parol, and Dobroslav Znidarcic. "Experimental investigation of volume change behaviour of swelling soil." Applied Clay Science 137 (2017): 22-29.
- [3] Feng, Jun, and Guangze Zhang. "Study on soil water and suction stress characteristics for unsaturated clay soil of airport engineering based on laboratory tests." Geofluids 2021, no. 1 (2021): 5233045.
- [4] Trinh, Minh Thu. "Coupled and uncoupled approaches for the estimation of 1-d heave in expansive soils due to transient rainfall infiltration: a case study in central Vietnam." GEOMATE Journal 17, no. 64 (2019): 152-157.
- [5] Rajeev, Pathmanathan, and Jayantha Kodikara. "Numerical analysis of an experimental pipe buried in swelling soil." Computers and Geotechnics 38, no. 7 (2011): 897-904.
- [6] Al-Juari, Khawla AK, Mohammed Y. Fattah, Suhail IA Khattab, and Mohammed K. Al-Shamam. "Simulation of behaviour of swelling soil supported by a retaining wall." Proceedings of the Institution of Civil Engineers-Structures and Buildings 175, no. 4 (2022): 293-302.
- [7] Yazdi, Amir Nadi, Ali Akhtarpour, Mustafa M. Abdalhusein, and Mohammad Saleh Baradaran. "Experimental Investigation of the Volume Change of a Swelling Clay and Its Improvement." Transportation Infrastructure Geotechnology (2023): 1-24.
- [8] Nie, Zhen, Shuzhe Shi, Bohong Wu, and Xueqin Huang. "Axial Force Calculation Model for Completion String with Multiple Point Resistances in Horizontal Well." Processes 11, no. 9 (2023): 2621.
- [9] Fyrilev, Olav, and Leif Collberg. "Influence of pressure in pipeline design: effective axial force." In International Conference on Offshore Mechanics and Arctic Engineering, vol. 41979, pp. 629-636. 2005.



## بررسی عددی رفتار خاک متورم‌شونده و تاثیر آن بر نیروهای داخلی غلاف چاههای گاز بر پایه‌ی مکانیک خاک غیراسیابع، مطالعه موردی: خانگیران سرخس

محراب بلیغی<sup>۱</sup>، محمدصالح برادران<sup>۲</sup>، علی اخترپور\*

گروه مهندسی عمران، دانشکده مهندسی، دانشگاه فردوسی مشهد، مشهد، ایران

### تاریخچه داوری:

دریافت: ۱۴۰۲/۰۵/۲۶

بازنگری: ۱۴۰۳/۰۱/۲۵

پذیرش: ۱۴۰۳/۰۳/۱۹

ارائه آنلاین: ۱۴۰۳/۰۴/۱۴

### کلمات کلیدی:

خاک متورم‌شونده

مکانیک خاک غیراسیابع

مدلسازی عددی

خانگیران سرخس

غلاف چاه

**خلاصه:** اکثر طرح‌ها و پروژه‌های عمرانی بر روی خاک‌های بنا می‌شود که بالاتر از سطح آب زیرزمینی است و این امر موجب می‌شود که، خاک در فاز غیراسیابع قرار گرفته و در آن مکش باقی ایجاد شود. افزایش و یا کاهش درجه اشباع خاک، بر روی خواص مکانیکی و هیدرولیکی آن تاثیر بسیار زیادی می‌گذارد. خاک‌های متورم‌شونده خاک‌هایی هستند که با جذب رطوبت و کاهش مکش باقی، افزایش حجم از خود نشان می‌دهند. بنابراین، این موضوع خسارات‌های جبران ناپذیری را در صنعت ساخت و ساز، راهسازی و صنایعی از قبیل نفت و گاز به وجود می‌آورد. در این تحقیق خاک متورم‌شونده اطراف یکی از چاههای گاز خانگیران سرخس مورد بحث و تحلیل عددی قرار گرفته است. نتایج مدل‌سازی عددی نشان داد در نقطه‌ی بحرانی لوله فولادی بدنی چاه، نیروی کشنشی ناشی از تورم خاک به اطراف آن وارد می‌شود که ضخامت طراحی و مجاز لوله چاه برای تحمل این نیرو با استفاده از دو روش ضربایب بار، مقاومت و مقاومت مجاز به دست می‌آید. نتایج نشان داد ضخامت‌هایی به دست آمده اعداد کوچکی هستند، در نتیجه خطری جدی ناشی از تورم خاک و ایجاد نیروی کشنشی بر بدنی چاه مطرح نیست و اگر فولاد بدنی چاه در طول زمان دچار خودگی‌های بسیار گسترده نشود، در اثر کشنش ناشی از تورم خاک گسیخته نخواهد شد.

### ۱- مقدمه

الیعقوب<sup>۱</sup> و همکاران [۹] طی پژوهشی، با انجام آزمایش‌هایی به بررسی

اثر نرخ تراندازی، نوع تراندازی، اثر سریار و فشار همه‌جانبه بر تغییر شکل خاک تورمی پرداختند. نتایج حاصل از پژوهش آنان نشان می‌دهد که با افزایش سیکل‌های بارگذاری - باربرداری فشار تعادلی تورم کاهش می‌یابد، همچنین درصد رطوبت اولیه رابطه‌ی عکس با فشار تورم تعادلی دارد و با کاهش درصد رطوبت اولیه فشار تورم تعادلی افزایش می‌یابد.

ژانگ و فنگ<sup>۲</sup> [۱۰] تحقیقی بر روی چهار نمونه خاک رسی متورم‌شونده‌ی غیراسیابع در کشور چین پرداختند. نتایج تحقیقات آنان نشان داد که با افزایش مکش باقی از ۱۰۰ به ۲۰۰ kPa در نتیجه مقاومت نمونه‌ها بالا می‌رود و این اختلاف برای تنش‌های در نتیجه چهار نمونه‌ها بالا می‌رود و برای تنش همه‌جانبه‌ی ۱۰۰ kPa همه‌جانبه خالص بالا اتفاق می‌افتد و برای تنش همه‌جانبه‌ی ۱۰۰ kPa اختلاف چندانی مشاهده نمی‌شود. همچنین اعلام داشتند که با افزایش تنش همه‌جانبه یعنی افزایش عمق خاک تنش انحرافی در مقابل کرنش انحرافی در نتیجه مقاومت خاک افزایش می‌یابد.

اساساً خاک متورم‌شونده خاکی است که حجم آن با تغییرات درصد آب موجود در آن تغییر می‌کند و عمدتاً تمرکز بر روی خاک‌هایی است که تورم قابل توجهی از خود نشان می‌دهند [۱]. برخی از خاک‌های موجود در طبیعت تورم در آن‌ها از طریق تغییرات ناشی از واکنش‌های شیمیایی (مانند تورم خاک‌های سولفات‌های آهکی) رخ می‌دهد [۲-۳]. با این حال بسیاری از خاک‌هایی که رفتار تورمی و انقباضی از خود نشان می‌دهند حاوی مواد معدنی رسی مانند استکمیت هستند. این مواد آب را جذب می‌کنند و هرچه بیشتر از این ماده‌ی معدنی درون خاک وجود داشته باشد پتانسیل تورم آن افزایش می‌یابد. از آنجا که خاک‌های غیراسیابع پتانسیل جذب آب در طول زمان را دارند، بررسی خاک‌های متورم‌شونده و رفتار تورمی آن‌ها در خاک‌های غیراسیابع از اهمیت فراوانی برخوردار است [۴]. تغییر حجم ناشی از این نوع خاک‌ها موجب وقوع بلایای گوناگون و آسیب‌زدن به سازه‌ها و زیرساخت‌های روی آن می‌شود [۵-۷]. این امر حتی باعث شده است که برخی از محققین از آن‌ها به عنوان "خاک‌های مصیبت بار" یاد کنند [۸].

\* نویسنده عهده‌دار مکاتبات: akhtarpour@um.ac.ir

۱ Al-Yaqoub

۲ Feng and Zhang

(Creative Commons License) حقوق مؤلفین به نویسنده‌گان و حقوق ناشر به انتشارات دانشگاه امیرکبیر داده شده است. این مقاله تحت لیسانس آفرینندگی مردمی (Creative Commons License) در دسترس شما قرار گرفته است. برای جزئیات این لیسانس، از آدرس <https://www.creativecommons.org/licenses/by-nc/4.0/legalcode> دیدن فرمائید.



یکی از مسائل و مشکلاتی که در دهه‌ی اخیر برای مهندسین حوزه‌ی ژئوتکنیک خانگیران سرخس حائز اهمیت بوده است، نشست حلقه‌های چاه در ابعاد گسترده بوده که با توجه به اهمیت اقتصادی منطقه‌ی گازی خانگیران و تامین انرژی آن در کشور نیاز است که علت این نشست‌ها بررسی شده و از روند پیش‌روی آن در آینده جلوگیری شود. مطلب حائز اهمیت در این تحقیق که تاکنون در پژوهش‌های پیشین، علیرغم بررسی جنبه‌های مختلف ژئوتکنیکی این چاهها، بصورت مستقیم به آن پرداخته نشده است، بررسی مقاومت جدار فلزی لوله‌ی گاز در مقابل تنفس کششی ناشی از تورم خاک در اثر بارش‌های مخرب در منطقه خانگیران سرخس می‌باشد، چراکه ممکن است این تورم موجب شکستگی و تخریب بخشی از جدار چاه گاز و حتی مسدود شدن آن شود.

در پژوهش حاضر، رفتار تغییر حجم یک نوع خاک متورم‌شونده در مکش‌های بافتی متفاوت و همچنین فشارهای همه جانبه‌ی ای که شبیه به آن ممکن است در طبیعت وجود داشته باشد، در نرم‌افزار GeoStudio مدل شده و نتایج مورد بررسی قرار خواهد گرفت. در تحقیق حاضر جهت دستیابی به اهداف زیر به بررسی خاک منطقه‌ی خانگیران سرخس به وسیله‌ی دستگاه سه محوری غیراشباع پرداخته شده است: (۱) بررسی تاثیر مکش بافتی و فشار همه جانبه بر میزان تغییر حجم و مقاومت برشی خاک متورم‌شونده اطراف چاه گاز خانگیران سرخس، (۲) بررسی تاثیر بارش‌های یک ساله بر میزان تورم خاک متورم‌شونده موجود در منطقه‌ی خانگیران سرخس، (۳) بررسی نیروهای کششی ایجاد شده در بدنه‌ی چاه گاز به دلیل تورم خاک متورم‌شونده اطراف آن در اثر بارش‌های یک ساله و حداقل ضخامت لازم برای تحمل این نیروی کششی و (۴) بررسی احتمال شکست در غلاف فولادی بدنه‌ی چاه گاز مورد نظر در حال حاضر یا در طول زمان.

## ۲- مواد و روش‌ها

### ۲-۱- خصوصیات خاک مورد بررسی

خاک مورد استفاده در این پژوهش از منطقه عملیاتی خانگیران، ۱۸۰ km شمال شرق مشهد و ۲۵ km شمال غربی شهر مرزی سرخس، در گستره‌ای به وسعت ۵۰ در  $70 \text{ km}^2$  (شکل ۱) برداشت شده است [۱۵-۱۷]. خانگیران یکی از وسیع‌ترین مناطق عملیاتی صنعت نفت ایران است به طوری که فاصله دو چاه در این منطقه به حدود ۶۰ km می‌رسد [۱۸].

ترین<sup>۱</sup> [۱۱] مدل‌سازی بر روی تورم یک بعدی یک نوع خاک متورم‌شونده ناشی از نفوذ بارندگی به صورت دوتایی (ترکیب SIGMA/W و SEEP/W) و غیر دوتایی با نرم‌افزار GeoStudio انجام داد. روش تحلیل جفت در SIGMA/W انجام شد و فشار آب منفذی و جابه‌جایی‌ها به طور همزمان اندازه‌گیری شد. اما در روش غیر جفت، تغییر فشار آب منفذی ناشی از بارندگی با استفاده از SEEP/W به تنها بی‌شبیه‌سازی شد و تغییر فشار آب منفذی حاصل در SIGMA/W برای تحلیل تغییر حجم استفاده شد. نتایج نشان داد که هر دو روش گفته شده ابزارهای قابل اطمینانی هستند و می‌توانند در عمل مهندسی برای تخمین تورم خاک ناشی از نفوذ بارندگی در گذر زمان مورد استفاده قرار گیرند.

راجیو و کودیکارا<sup>۲</sup> [۱۲] به بررسی برهم‌کنش بین لوله و خاک برای لوله‌های مدفون در خاک‌های متورم‌شونده در زمانی که خاک بدليل افزایش رطوبت، اقدام به جابه‌جایی و حرکت می‌کند، پرداختند. آن‌ها برای مدل‌سازی عددی خود از نرم‌افزار FLAC 3D بهره برداشتند و نتایج حاصل، توافق خوبی با داده‌های آزمایشگاهی قبلی را از خود نشان دادند.

الجواری<sup>۳</sup> و همکاران [۱۳] در پژوهشی، به بررسی فشار تورم جانبی و فشار عمودی خاک متورم‌شونده، در حضور دیوار حائل در شرایط اشباع و غیراشباع پرداختند. مقایسه‌ی نتایج حاصل از مدل‌سازی عددی با نرم‌افزار GeoStudio و نتایج آزمایشگاهی نشان داد که، تورم عمودی و درصد کاهش تورم با عمق خاک کاهش یافته است. همچنین سرعت تورم با افزایش عمق خاک کاهش یافته و زمان لازم برای رسیدن به حالت تعادل تورم به صورت خطی با عمق خاک کاهش می‌یابد.

نادی یزدی و همکاران [۱۴] به منظور بررسی تغییرات حجم خاک‌های متورم شونده، از دستگاه تحکیم غیراشباع با قابلیت کنترل مکش استفاده نمودند آن‌ها ابتدا به بررسی فشار تورم خاک در مکش‌های مختلف پرداختند و سپس جهت کنترل فشار تورم از سیمان به عنوان افزودنی استفاده نمودند. در حالت با وجود افزودنی سیمان، آزمایش‌ها میزان تورم و تغییر حجم نمونه بر اساس تغییرات مکش بافتی تحت سربار ثابت انجام گردید و مشاهده شد که میزان تغییر حجم در حالت تورم آزاد که خاک بیشترین تورم را دارد، ۶/۸۲٪ است. همچنین فشار تورم خاک در حالت تراندازی  $99/8 \text{ kPa}$  شد که اگر از سیمان به میزان  $2/5$  الی  $10\%$  جهت بهسازی استفاده شود، فشار تورم به ترتیب به میزان  $50$  الی  $95\%$  کاهش می‌یابد.

1 Trinh

2 Rajeev and Kodikara

3 Al-Juari



شکل ۱. موقعیت جغرافیایی خاک منطقه مورد بررسی [۱۴]

Fig. 1 . Geographical location of the soil of the studied area [14]

جدول ۱. مشخصات اولیه خاک [۱۴]

Table 1. Characteristics of the soil [14]

نام آزمایش	نام استاندارد	نتایج
دانه بندی	ASTM D422-63	درصد عبوری از الک ۲۰۰ برابر٪ ۹۱/۴۳
هیدرومتری	ASTM D421	ترسیم منحنی دانه بندی
چگالی دانه های جامد	ASTM D854	٪ ۲/۷
رطوبت خاک در محل	ASTM D2216-19	٪ ۱۹
حدود اتربرگ	ASTM D4318	PL=23 % ، LL=42%
وزن مخصوص ظاهری	ASTM D1556/1556M	٪ ۱/۸۳۷
درصد گچ	ASTM C25-19	٪ ۳/۲۱۲

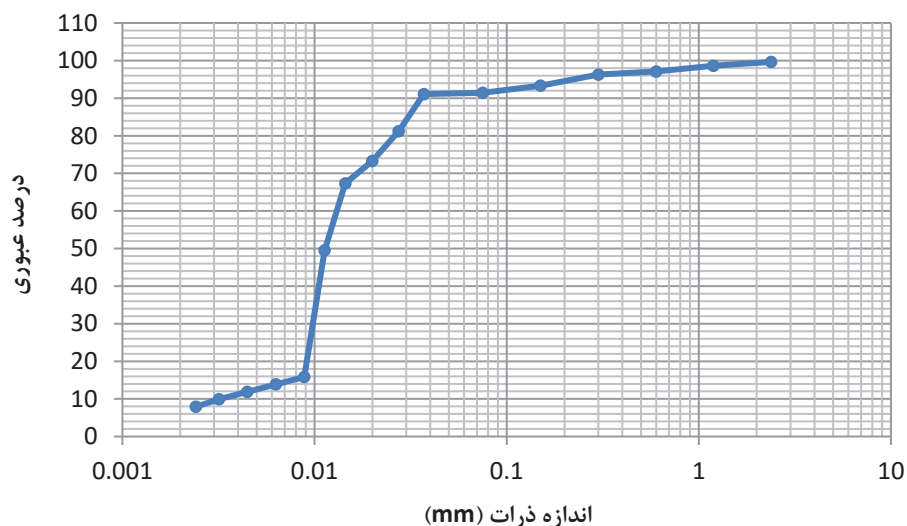
است. با توجه به حدود اتربرگ بدست آمده برای خاک موردنظر، پتانسیل نسبی غیرمستقیم تورم خاک براساس معیارهای مختلف در جدول (۲) نشان داده شده است. همچنین نمودار دانه بندی خاک موردنظر نیز در شکل ۲ ارائه گردیده است.

با توجه به آزمایش های انجام گرفته اولیه بر روی نمونه های خاک برداشت شده، خاک مدنظر براساس استاندارد سیستم طبقه بندی متعدد خاک (USCS) در رده خاک های CL قرار گرفته و براساس دیگر آزمایشات و استانداردها، مشخصات موردنیاز خاک در جدول (۱) آورده شده

## جدول ۲. پتانسیل نسبی تورم غیرمستقیم خاک

Table 2. Relative potential of indirect soil swelling

پتانسیل نسبی تورم غیرمستقیم	معیار
PL=23 % , LL=42%	
متوسط	معیار داکشانمورتی و رامان [۱۹]
کم	معیار USBR [۲۰]
زیاد	معیار مک کین [۲۱]
% ۵ - ۸/۵	معیار سیید و همکاران [۲۲]



شکل ۲. منحنی دانه‌بندی خاک [۱۴]

Fig. 2. Particle size distribution of the studied [14]

منحنی مشخصه‌ی آب - خاک برای خاک مورد نظر در این پژوهش با استفاده از تحکیم غیرابشع، مطابق با پژوهش نادی بزدی و همکاران [۱۴] تعیین شده است (شکل ۴). همانطور که از شکل ۴ میتوان دریافت، نقطه‌ی ورود هوا، ۴۹ kPa است. لازم به ذکر است که در سال آبرتین و همکاران روشی را به منظور پیش‌بینی منحنی نگهداشت آب - خاک با استفاده از توابع اصلاح شده کوواکس<sup>۱</sup> ارائه کردند [۲۳]. از ویژگی‌های این روش این است که می‌تواند منحنی نگهداشت آب - خاک را با استفاده از خواص اولیه خاک که به سهولت در آزمایشگاه قابل اندازه‌گیری است، پیش‌بینی کند. نقطه‌ی ورود هوا طبق شکل ۴ براساس توابع اصلاح شده کوواکس عدد ۵۳ به

همچنین با استفاده از دستگاه آنالیز پراش ایکس<sup>۱</sup> (XRD) برای شناسایی فازهای کربستالی معدنی و فراوانی کانی‌های موجود در خاک اقدام گردید و طیف فراوانی کانی‌های موجود در نمونه خاک در جدول (۳) و شکل ۳ آورده شده است. لازم به ذکر است حدود ۹/۸٪ مجموع دیگر کانی‌های ناشناخته در این طیف وجود دارد که در گزارش آزمایشگاه ارائه نگردیده است. وجود کانی مونت موریلونیت<sup>۲</sup> و کانی اترینگایت<sup>۳</sup> که از وجود گچ به وجود می‌آید در این خاک دیده شده و علت تورم را می‌توان در این دو کانی پیدا نمود.

1 X-Ray diffraction

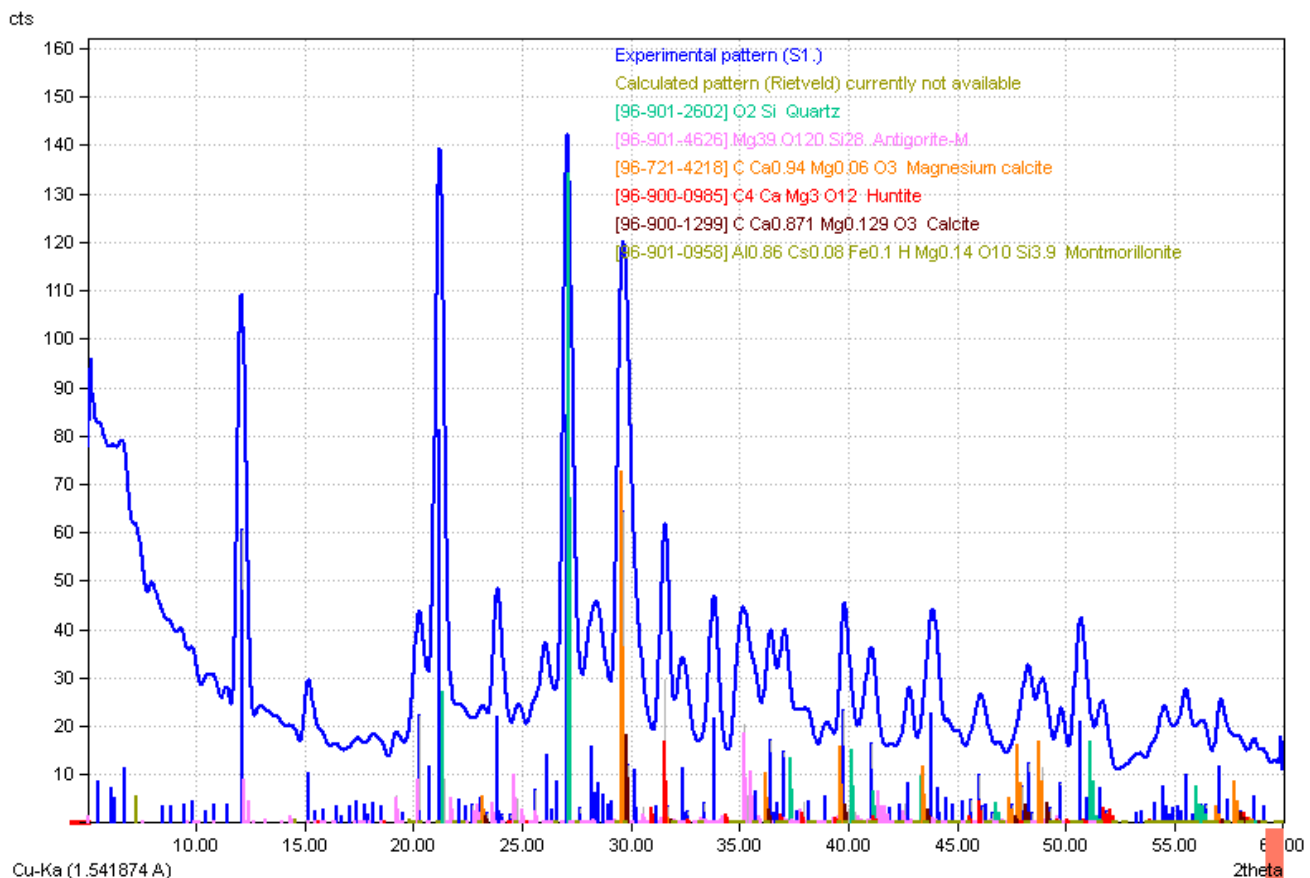
2 Montmorillonite

3 Antigorite

### جدول ۳. ترکیبات کانی تعیین شده با XRD [۱۴]

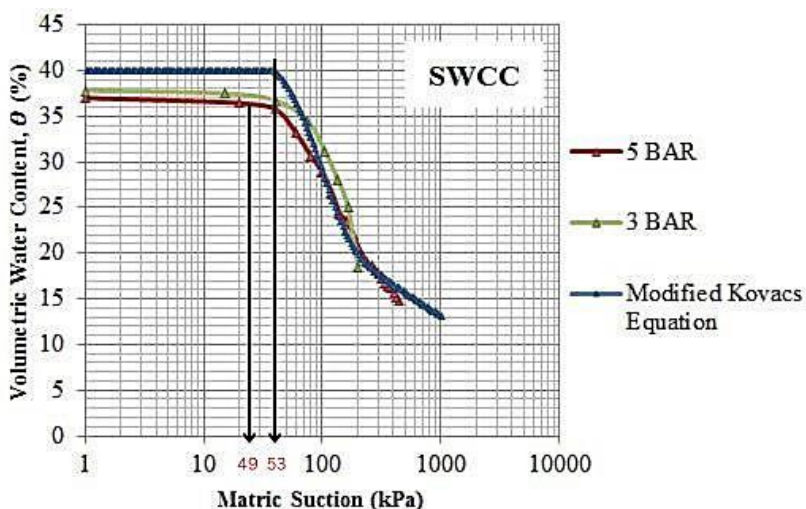
Table 3. Mineral compositions determined by XRD [14]

درصد تشکیل دهنده	نام	نماد شیمیایی	ترتیب
۲۷/۲	Quartz	$\text{SiO}_2$	۱
۲۱/۸	Antigorite-M	$\text{Mg}_6[(\text{OH})_8 - \text{Si}_4\text{O}_{10}]$	۲
۱۸/۹	Magnesium calcite	$(\text{Ca}_{0.998}, \text{Mg}_{0.002})\text{CO}_3$	۳
۶/۸	Huntite	$\text{Mg}_3\text{Ca}(\text{CO}_3)_4$	۴
۵	Calcite	$\text{CaCO}_3$	۵
۰/۶	Montmorillonite	$(\text{Na}, \text{Ca})_{0.33}(\text{Al}, \text{Mg})_2(\text{Si}_4\text{O}_{10})(\text{OH})_2 \cdot n\text{H}_2\text{O}$	۶



شکل ۳. الگوی گرافیکی پراش اشعه ایکس (XRD) [۱۴]

Fig. 3. Graphic pattern of X-ray diffraction (XRD) [14]



شکل ۴. منحنی نگهداشت آب - خاک (SWCC) خاک مورد بررسی [۱۴]

Fig. 4. Soil-water characteristic curve (SWCC) of the studied soil [14]

$\theta_s$  درصد رطوبت اشباع است. در این پژوهش، مطابق نادی یزدی و همکاران [۱۴] مقدار درصد رطوبت ماندگار  $6/78\%$  و مقدار رطوبت اشباع  $38/41\%$  باشد. در ادامه به کمک رابطه ۲ مقدار تنش مؤثر برای هر مکش بافتی و سربار مشخص محاسبه می‌شود [۲۴]. در این رابطه، بخش اول نشان‌دهنده سربار موجود و بخش دوم ضرب پارامتر تنش مؤثر در مکش بافتی می‌باشد.

$$\sigma' = (\sigma_n - u_a) + \chi(u_a - u_x) \quad (2)$$

در ادامه میزان مدول متورم شوندگی با توجه به رابطه ۳ محاسبه می‌گردد.

$$m_v = \frac{3(1-2\nu)}{E} = \frac{\left(\frac{\Delta H}{H_0}\right)}{\Delta \sigma'} \quad (3)$$

مدول متورم شوندگی محاسبه شده بین دو تنش مؤثر به تنش مؤثر میانگین اختصاص داده شد. در ادامه با حذف نتایجی که موجب افزایش خطای گردد، نمودار مدول متورم شوندگی در برابر تنش مؤثر مطابق شکل ۵ به دست آمده است.

دست می‌آید که فاصله‌ی کمی با نتایج آزمایشگاهی (عدد ۴۹) دارد. همچنین در شکل ۴ میزان تطابق این نمودار با نمودارهای حاصل از آزمایش با دیسک سه بار و پنج بار قابل مشاهده است.

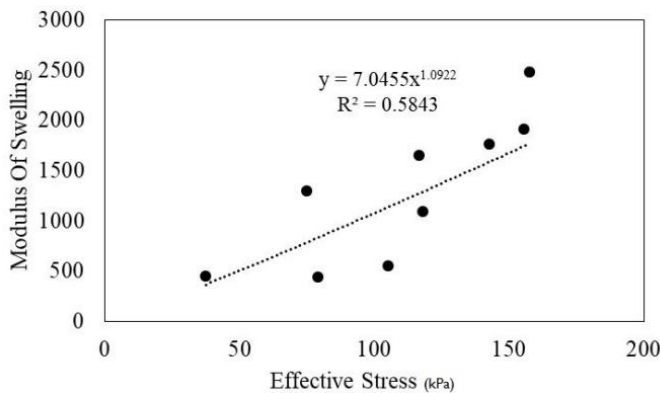
## ۲-۲- مدول متورم شوندگی

در نرمافزار GeoStudio با تغییر در مکش بافتی تنش مؤثر تغییر کرده و با تغییر در تنش مؤثر بر اساس مدول متورم شوندگی کرنش حجمی در خاک تغییر می‌کند. لذا برای انجام محاسبات در این مرحله مدول‌های مرحله قبل قابل استفاده نبوده و برای شبیه‌سازی تورم بایستی مدول متورم شوندگی که در آن تغییر در تنش مؤثر به تغییر در کرنش‌های حجمی ارتباط داده می‌شود؛ استفاده گردد. در پژوهش حاضر به منظور شبیه‌سازی رفتار تورمی خاک، رابطه‌ای بین مدول متورم شوندگی خاک و تنش مؤثر ارائه شده است. با توجه به رابطه و نجنس اشتئن<sup>۱</sup> [۲۴] (رابطه ۱) می‌توان پارامتر تنش مؤثر ( $\chi$ ) را به دست آورد.

$$\chi = \frac{\theta_r - \theta_s}{\theta_r - \theta_s} \quad (1)$$

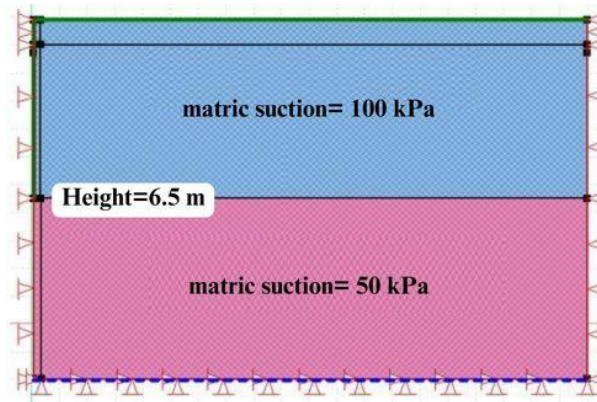
که در این رابطه  $\theta$  درصد رطوبت حجمی،  $\theta_r$  درصد رطوبت ماندگار و

۱ Van Genuchten



شکل ۵. نمودار مدول متورم شوندگی - تنش مؤثر

Fig. 5. Swelling modulus - effective stress diagram



شکل ۶. تقسیم‌بندی خاک قبل از تحلیل جریان

Fig. 6. Soil division before flow analysis

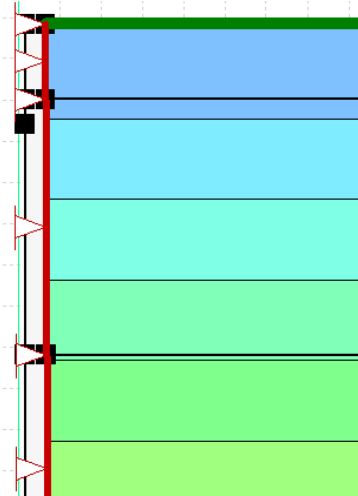
سال پریارندگی برداشت شده است دارای مکش ۱۰۰ kPa بوده است لذا قبیل از مدل سازی باید آب زیر زمینی در مرزی فرض شود که قادر به ایجاد مکشی در خاک شود که پس از بارندگی به مکش ۱۰۰ kPa برسد. به علت موجود نبودن داده های قبل بارش با آزمون و خطا مکش بافتی خاک سطح زمین قبل از بارندگی ۱۳۰ kPa تخمین زده شده که معادل وجود مرز آب زیرزمینی در عمق ۱۳ m سطح زمین است. پایین تر از ۱۳ m از آن، جایی که خاک اشباع بوده است و تغییرات تورمی در طی بارش ها تاثیری بر آن ندارد، مدل نشده و در واقع خاک غیر اشباع بالای سطح آب زیرزمینی مورد تحلیل قرار می گیرد (شکل ۶).

بدیهی است این مدول به طور کلی با مفهوم مدول الاستیک خاک در بازگذاری متفاوت است و اندازه آن کاملاً به میزان خاصیت متورم شوندگی خاک بستگی دارد. معادله ۴ جهت تحلیل تغییر شکل ناشی از تغییر مکش به نرم افزار معرفی شده است.

$$E = 7.0455 \times \sigma^{1.0922} \quad (4)$$

### ۳- مدل سازی عددی

برای مدل سازی عددی چاه گاز در این منطقه عمق سطح آب زیرزمینی در ۱۳ متر زیر زمین فرض شده است زیرا خاکی که از محل بعد از وقوع



شکل ۷. نمایی از غلاف چاه

Fig. 7. A view of the well casing

قرار دارد. ضلع پایینی مدل از دو جهت افقی و عمودی و ضلع سمت راست و چپ در جهت افقی گیردار شده‌اند و اجازه‌ی انجام حرکت در این راستاها را ندارند. اضلاع سمت راست و چپ مدل اجازه حرکت قائم را دارند تا بتوانند تعییر ارتفاع ناشی از تورم خاک را نشان دهند. از آنجایی که سمت چپ مدل یعنی دیواره‌ی دارای غلاف فولادی تعییر مکان افقی ندارد پس نیروی برشی در غلاف فولادی ایجاد نمی‌شود و نیروها همگی از نوع کشش هستند. علت در نظر گرفتن این فرض برای مدل‌سازی، متقارن بودن چاه و درنتیجه خشی شدن نیروهای افقی ایجاد شده از دو طرف است که اجازه‌ی ایجاد برش در دیواره‌ی چاه وجود ندارد.

در این پژوهش، به منظور تحلیل بوسیله نرم‌افزار SEEP/W، شرایط آب و هوایی یک سال پریارش از مهرماه سال ۱۳۹۷ تا انتهای شهریور سال ۱۳۹۸ سرخس مورد مطالعه قرارگرفته است و نمودارهای آن در شکل ۹ مشاهده می‌گردد.

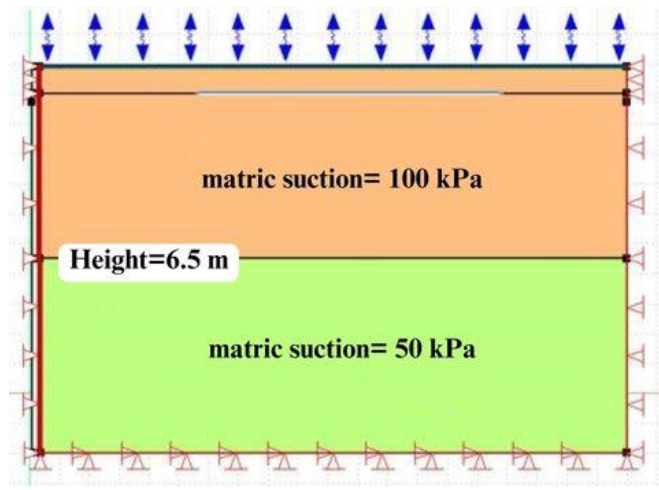
در نرم‌افزار SEEP/W امکان مدل‌سازی تبادل رطوبت خاک و هوا از طریق عواملی چون دما، بارندگی، رطوبت نسبی، سرعت باد، ارتفاع پوشش گیاهی و تابش خورشیدی می‌باشد. در این پژوهش به منظور شبیه‌سازی شرایط آب و هوایی شهر سرخس، از روش پنمان - مونیث<sup>۱</sup> (رابطه‌ی ۵) تبخیر و تعرق بالقوه را به دو بخش تشبع و آبودینامیکی جدا می‌کند و یک مدل ترکیبی

مدل‌سازی چاه گاز در دو مرحله انجام می‌شود، مرحله‌ی اول مدل‌سازی تنش‌های برجا برای کل حجم خاک بدون چاه و مرحله‌ی دوم حفاری چاه و جایگذاری غلاف فولادی بدنه‌ی چاه است. با توجه به اطلاعات دریافتی از شرکت نفت قطر دورترین غلاف فولادی چاه  $26\text{ inch}$  و قطر چاه گاز هفت  $\text{inch}$  است. حد فاصل دورترین غلاف فولادی تا چاه گاز به صورت لایه ای دوغاب سیمان و غلاف فولادی کار گذاشته شده است. ضخامت فولاد غلاف فولادی آخر  $1/61\text{ cm}$  است. غلاف بدنه‌ی چاه از فولاد ضد زنگ با مقاومت کششی  $655\text{ MPa}$  ساخته شده است. این مقاومت کششی  $1/83$  برابر تنش جاری شدن فولاد  $ST37$  ( $362\text{ MPa}$ ) است. شکل ۷ نمایی از کارگذاری فولاد بدنه‌ی چاه را نشان می‌دهد.

برای مدل‌سازی بعد از بارش، خاک بالا مرطوب‌تر شده و مکش بافتی آن کاهش می‌یابد. برای دقت در محاسبات خاک به دو بخش بالا با مکش میانگین  $100\text{ kPa}$  و بخش زیرین با مکش بافتی میانگین  $50\text{ kPa}$  تقسیم می‌شود (شکل ۷).

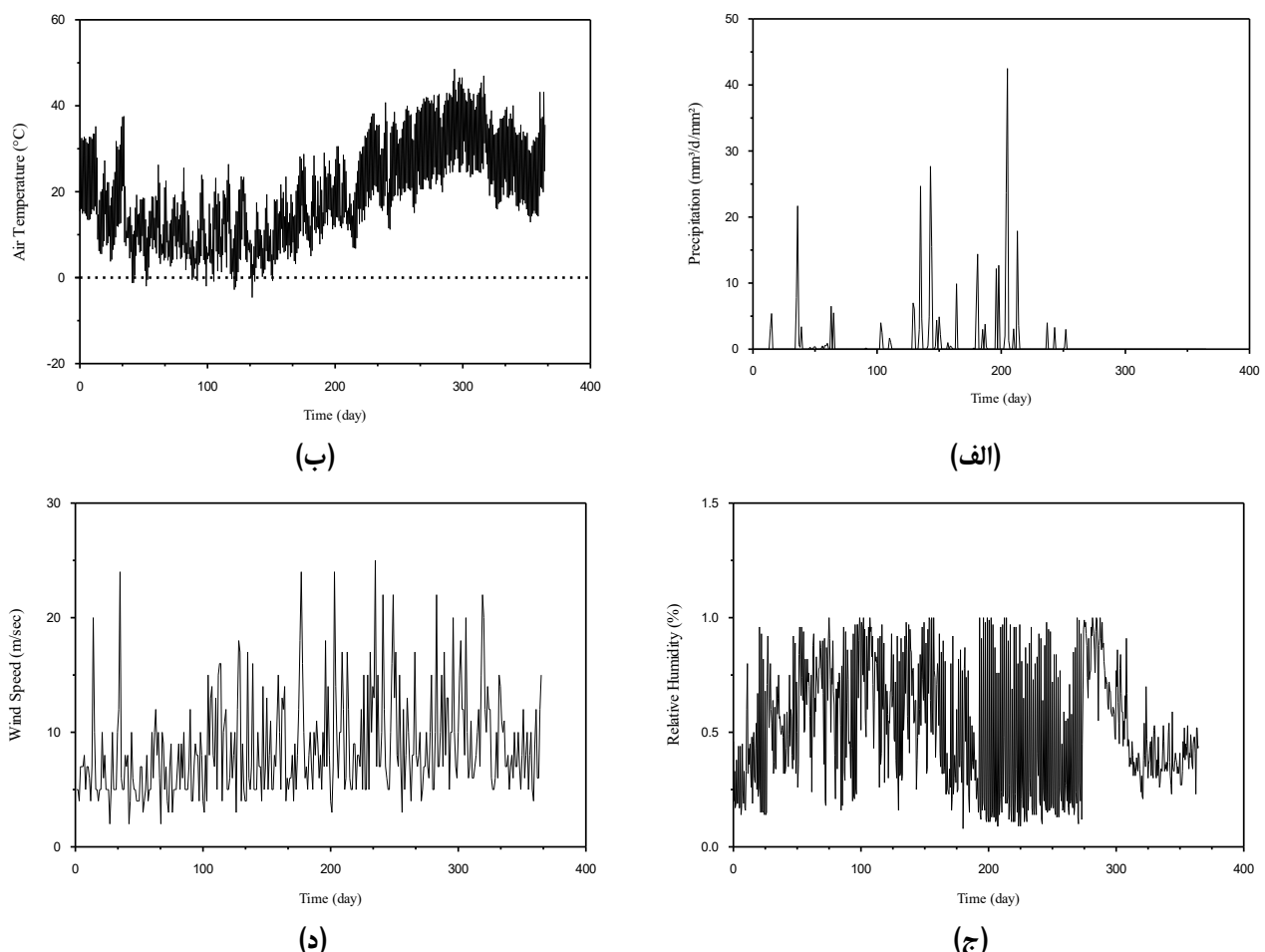
زمان مدل‌سازی  $5\text{ year}$  و  $258\text{ day}$  معادل  $50000\text{ hr}$  (۲۰۸۳) (day) انجام می‌شود تا آب به شرایط پایدار برسد و همه تأثیر تورم ناشی از بارندگی در آن دیده شود. شکل ۸ نمای کلی و نهایی از مدل را پس از اعمال شرایط اقلیمی نشان می‌دهد.

شرایط مرزی مدل به این گونه است که در سمت چپ مدل به اندازه‌ی شعاع چاه از مبدأ مختصاتی برنامه غلاف فولادی روی ضلع سمت چپ مدل



شکل ۸. نمایی از مدل ساخته شده و تقسیم بندی خاک بعد از تحلیل جریان

**Fig. 8. A view of the built model and soil division after flow analysis**



شکل ۹. نمودارهای مورد استفاده شرایط آب و هوایی در مدل سازی عددی از مهرماه ۱۳۹۷ تا مهرماه ۱۳۹۸ a) بارندگی، b) دما، c) رطوبت نسبی، d) سرعت باد

**Fig. 9. Graphs used for weather conditions in numerical modeling from October 2017 to October 2018 a) rainfall, b) temperature, c) relative humidity, d) wind speed**

#### جدول ۴. پارامترهای مدل هذلولوی

Table 4. Hyperbolic model parameters

	k	n
مکش بافتی ۵۰ kPa	۲۲۷۰/۳۸	۰/۳۲۱۹
مکش بافتی ۱۰۰ kPa	۱۵۱۳/۵۶	۰/۴۸۸۵

#### ۴- نتایج و بحث

در نظر گرفته می‌شود (موازنۀ انرژی و روش آئرودینامیکی) [۲۵]:

در این قسمت، با انجام مدل‌سازی چاه و خاک اطراف آن، میزان تورم و فشارهای آب منفذی، مدول الاستیسیته قبل و بعد از بارندگی و نیروهای کششی ایجاد شده در بدنه فولادی چاه در طول زمان مورد تحلیل و بررسی قرار گرفته است. نتایج حاصل در ادامه آورده شده است.

-۱- تعیین مدول الاستیسیته‌ی موثر خاک قبل و بعد از جریان بارندگی برای محاسبه‌ی مدول الاستیسیته‌ی ناشی از تورم قبل از بارندگی و در مراحل خاک برداری و احداث چاه گاز (کارگذاری کیسینگ‌ها) بایستی از نتایج آزمون‌های سه محوری غیراشباع استفاده شود. با توجه به رطوبت موجود در محل (W) که از آزمایش‌های اولیه ۱۹٪ محاسبه شده است، رطوبت حجمی موجود در محل (q)، ۲۹٪ برآورد می‌شود که بر اساس نمودار SWCC خاک مکش معادل این رطوبت ۱۰۰ kPa است. در نتیجه از نتایج آزمون سه محوری غیراشباع در مکش ۱۰۰ kPa برای محاسبه‌ی مدول الاستیسیته‌ی خاک در هفت متر بالایی سطح خاک استفاده می‌شود. شش متر پایین‌تر نمونه، دارای یک بازه مکش از صفر تا ۱ kPa است که میانگین همه‌ی لایه‌ها را مکش ۵۰ kPa در نظر گرفته می‌شود. برای محاسبه‌ی مدول الاستیسیته با استفاده از اطلاعات آزمایش‌های سه محوری از مدل هذلولوی استفاده می‌شود. پارامترهای هذلولوی در جدول ۴ بیان شده‌اند.

با جایگذاری مقادیر  $k$  و  $n$  در رابطه‌ی عر در مکش‌های بافتی ۵۰ و ۱۰۰ kPa روابط ۷ و ۸ بیان می‌شوند:

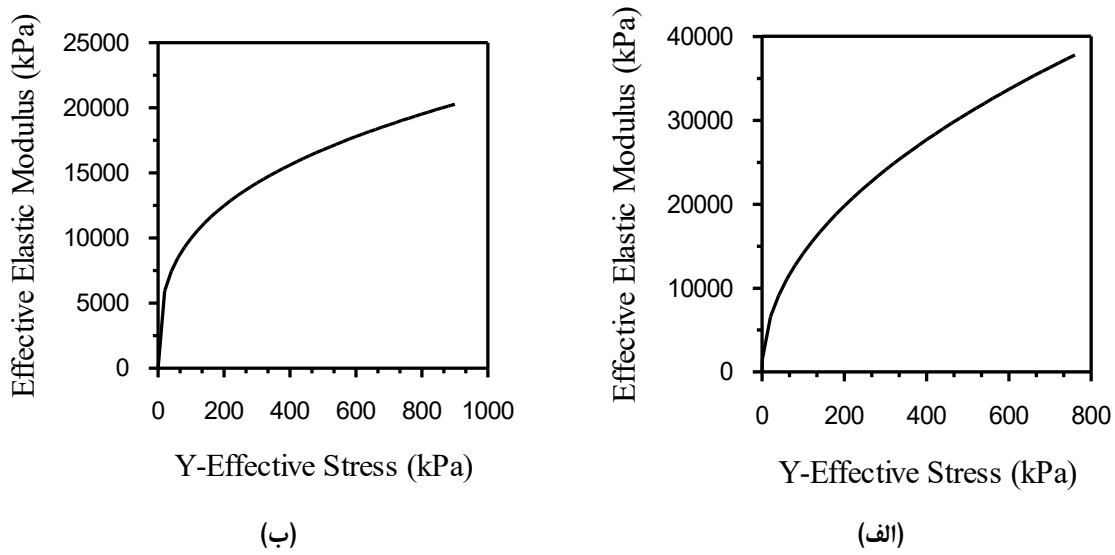
$$\log E = \log(K \times P_a) + n \log \frac{(\sigma_3 - u_a)}{P_a} \rightarrow \quad (6)$$

$$E = (K \times P_a) \times (\sigma_3 - u_a)^n$$

$$q_{PET} = q_{PET}^{rad} + q_{PET}^{aero} = .$$

$$\frac{1}{h_{fg}} \left[ \frac{\Gamma(q_n - q_g)}{\Gamma + \gamma \left( 1 + \frac{r_c}{r_a} \right)} + \frac{p_a c_{sa} \left( p_{v0}^a - p_v^a \right) / r_a}{\Gamma + \gamma \left( 1 + \frac{r_c}{r_a} \right)} \right] \quad (5)$$

که در آن  $q_{PET}$  شار تبخیر بالقوه،  $h$  گرمای نهان تبخیر،  $q_n$  تشعشع خالص،  $q_g$  شار حرارتی زمین،  $P_a$  میانگین چگالی هوا (تمسфер)،  $c_{sa}$  گرمای ویژه هوا مرطوب،  $(p_{v0}^a - p_v^a)$  کمبود فشار بخار،  $P_{v0}^a$  فشار بخار اشباع در دمای متوسط هوا،  $P_v^a$  فشار بخار واقعی هوا در ارتفاع مرجع،  $r_c$  مقاومت در سطح حجیم (سایبان زراعی)،  $r_a$  مقاومت آئرودینامیکی می‌باشد [۲۵]. پارامترهای ورودی برای روش پنمایان - مونیث شامل دما در برابر زمان، بارندگی در برابر زمان، رطوبت نسبی در برابر زمان، سرعت باد در برابر زمان، ارتفاع پوشش گیاهی در برابر زمان و تابش خورشیدی می‌باشد. در اینجا از پارامتر ارتفاع پوشش گیاهی نسبت به زمان صرف نظر شده است. تابع دما در برابر زمان به صورت سینوسی وارد شده است. بدین شکل که بیشینه دما در ساعت ۱۳ و کمینه دما در ساعت ۱ بامداد اعمال می‌گردد. بهمنظور محاسبه تابش خورشیدی عرض جغرافیایی سرخس (۳۶/۵) زمان شروع تحلیل (اول مهرماه ۱۳۹۷) و ضریب آبدوی منطقه اعمال شده است. انکاس انرژی تاییده به سطح زمین، آبدوی زمین گفته می‌شود و مقدار آن با توجه به پژوهش کربلایی و همکاران، ۰/۲۲ در نظر گرفته شده است [۲۶].



شکل ۱۰. نمودار مدول الاستیسیته موثر در مقابل تنش موثر قائم (الف) مکش بافتی ۱۰۰ kPa، (ب) مکش بافتی ۵۰ kPa

**Fig. 10. Diagram of the effective modulus of elasticity against the effective vertical stress a) matric suction 100 kPa, b) matric suction 50 kPa**

#### ۴-۲- فشار آب منفذی در خاک

پس از ساخت و تحلیل مدل بصورت آنچه در بخش مواد و روش‌ها بیان شد، در این قسمت به منظور بررسی فشار آب منفذی و جابه‌جایی‌ها در خاک، نقطه مشخصی در عمق ۲ متری از سطح زمین در وسط مدل انتخاب می‌گردد. به منظور بررسی و تحلیل تغییرات فشار آب منفذی نقطه مورد نظر، از داده‌های بارش در فاصله زمانی مهر ماه سال ۱۳۹۷ تا انتهای شهریور سال ۱۳۹۸ مطابق شکل ۷ (الف) استفاده شده است.

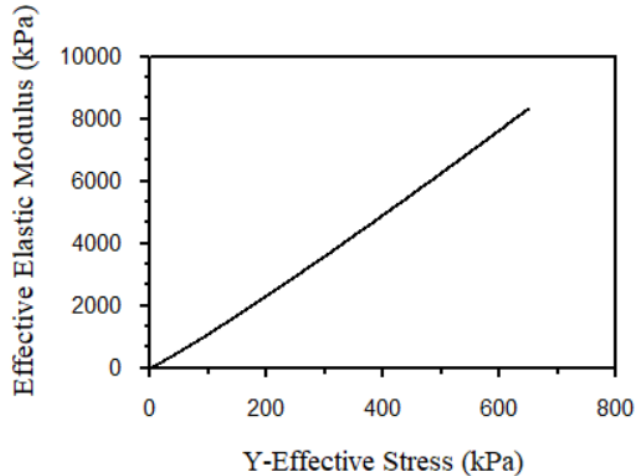
شکل ۱۲ تغییرات فشار آب منفذی برای یک نقطه در عمق دو متری از سطح زمین را در وسط مدل نشان می‌دهد. از نمودار برداشت می‌شود که از روز اول تا day ۲۴۰ پس از اغاز بارش‌ها، فشار آب منفذی و مکش بافتی کاهش می‌یابد. یعنی پس از day ۲۴۰ که معادل انتهای اردیبهشت است، خاک در مرتبط ترین حالت ممکن قرار دارد، چرا که بارش‌ها در این زمان بیشینه است. پس از اردیبهشت به علت وجود گرمای زیاد و بارش اندک تا انتهای شهریور ماه رطوبت خاک کمتر شده و فشار آب منفذی و مکش بافتی مجدد افزایش می‌یابد تا تقریباً پس از day ۱۶۰۰ ثابت می‌شود و در واقع جریان آب در خاک پایدار شده است.

$$E = 1513.56 \times (\sigma_3 - u_a)^{0.485} \quad (7)$$

$$E = 2270.4 \times (\sigma_3 - u_a)^{0.3219} \quad (8)$$

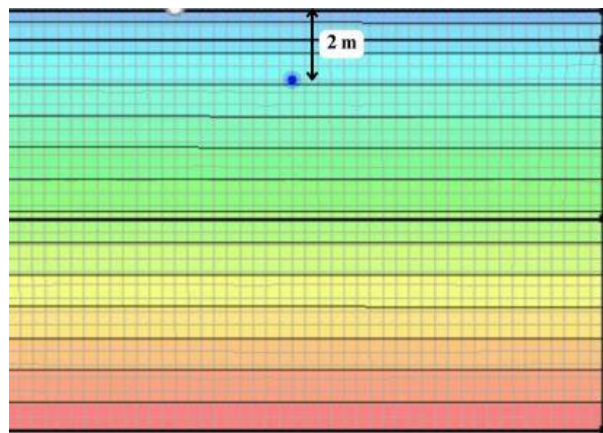
از تحلیل نتایج، نمودار شکل ۱۰ (الف) روند افزایش مدول الاستیسیته خاک را نسبت به افزایش تنش موثر قائم قبل از وقوع بارندگی در مکش موجود در سطح خاک ( $y = 0$ ) نشان می‌دهد و شکل ۱۰ (ب) ارتباط بین مدول الاستیسیته را با تنش موثر قائم برای خاک در مکش ۵۰ kPa قبل از بارندگی را نشان می‌دهد. از مقایسه‌ی نمودارها و روابط ۷ و ۸ روشن است که روند افزایشی مدول خاک در مکش ۱۰۰ kPa بیشتر است، در نتیجه می‌توان گفت با افزایش مکش بافتی مدول الاستیسیته خاک بیشتر شده و خاک صلبیت بیشتری می‌یابد و جابه‌جایی‌ها در آن کمتر می‌شود.

باتوجه به معادلات بیان شده و شکل ۸ رابطه‌ی بین مدول الاستیک خاک با تنش موثر بعد از بارندگی در شکل ۱۱ نشان داده شده است.



شکل ۱۱. نمودار مدول الاستیسیته‌ی موثر در مقابل تنش موثر قائم بعد از تحلیل جریان

Fig. 11. Diagram of the effective modulus of elasticity versus the effective vertical stress after flow analysis



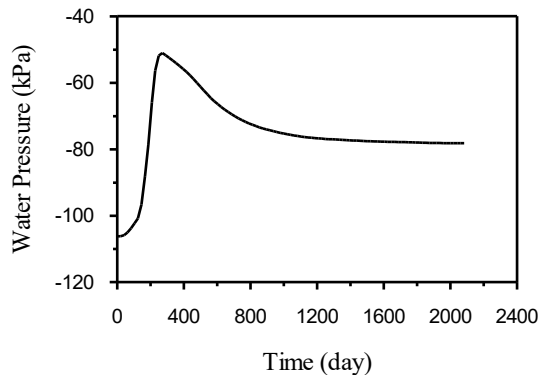
شکل ۱۲. نقطه‌ی مورد نظر برای اندازه‌گیری فشار آب حفره‌ای

Fig. 12. The target point for pore water pressure measurement

#### ۴-۳- جابه‌جایی‌ها در خاک

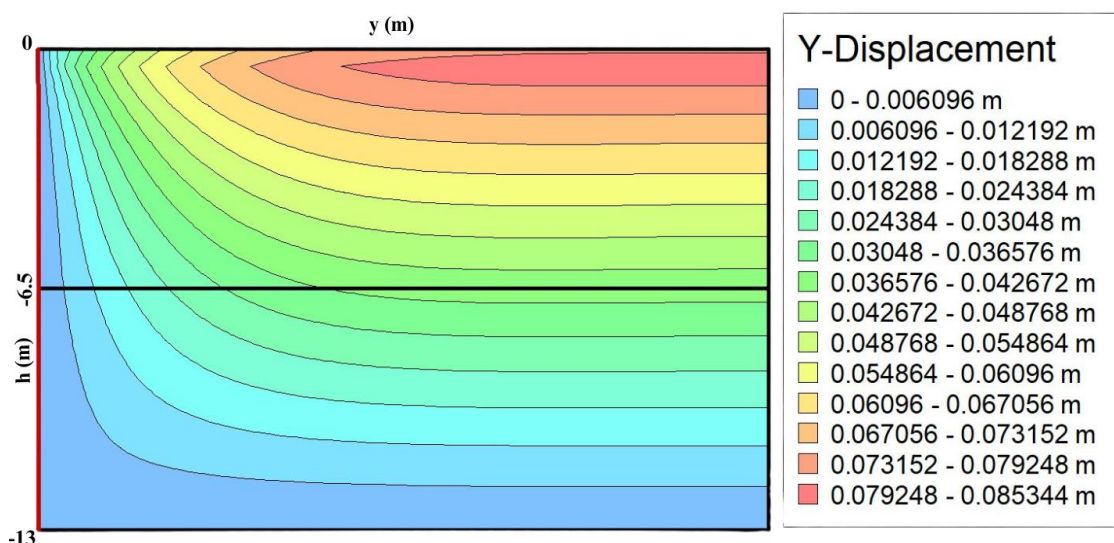
شکل ۱۴ جابه‌جایی در راستای قائم را به صورت شماتیک بعد از گذشت ۲۰۸۳ day (زمان مدل‌سازی در بخش ۳) نشان می‌دهد. همان‌طور که قابل مشاهده است در خاک مدل‌سازی شده تورم قابل توجهی رخ داده است. این تورم برای ۱۳ m خاک حدود ۸/۵ cm دیده می‌شود. این عدد معادل ۰/۶۳۷٪ از کل مدل است. خاک در اطراف چاه به علت وجود فولاد بدنه‌ی چاه جابه‌جایی‌های بسیار کوچکی را از خود نشان می‌دهد چرا که فولاد

با توجه به نمودار شکل ۱۳، اثرات جریان آب ناشی از یک سال بارش مدل شده پس از گذشت مدت زمان حدودی  $1600 \text{ day}$  معادل  $4/4 \text{ year}$  از بین می‌رود و برای بالا بردن اطمینان از مجانب شدن کامل نمودار در طول زمان، با تحلیل زمانی در نرم‌افزار تحلیل تا  $2083 \text{ day}$  معادل  $5/7 \text{ year}$  ادامه می‌یابد. قابل توجه اینکه پس از این یک سال هیچ داده‌ی مربوط به اقلیم به برنامه داده نمی‌شود که علت اصلی این موضوع اهمیت تمرکز بر همان سال پر بارش و اثرات دراز مدت آن بر خاک است.



شکل ۱۳. نمودار تغییرات فشار حفره‌ای در طول زمان در نقطه‌ی مورد نظر

Fig. 13. Diagram of pore pressure changes over time at the desired point



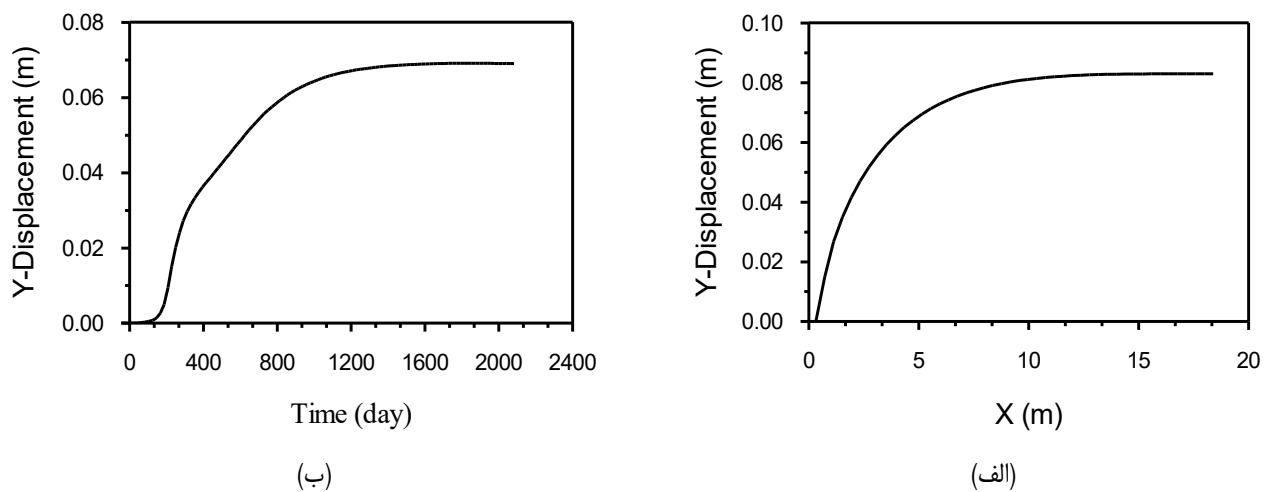
شکل ۱۴. جابه‌جایی‌های قائم مدل خاک و چاه در انتهای زمان

Fig. 14. Vertical displacements of soil and well models at the end of time

شکل ۱۵ (ب) نمودار جابه‌جایی قائم در طول زمان را برای نقطه مورد نظر در عمق دو متری خاک و در وسط مدل نشان می‌دهد. از شکل ۱۳ (ب) میتوان دریافت که پس از یک سال که جریان آب و دما و تابش خورشید برداشته می‌شود، همچنان تورم تا ۱۶۰۰ روز ادامه پیدا می‌کند، چرا که آب درون خاک در حال نفوذ است. تحلیل نشان می‌دهد پس از حدود ۱۶۰۰ روز جریان ثابت شده و پس از آن تورمی رخ نخواهد داد.

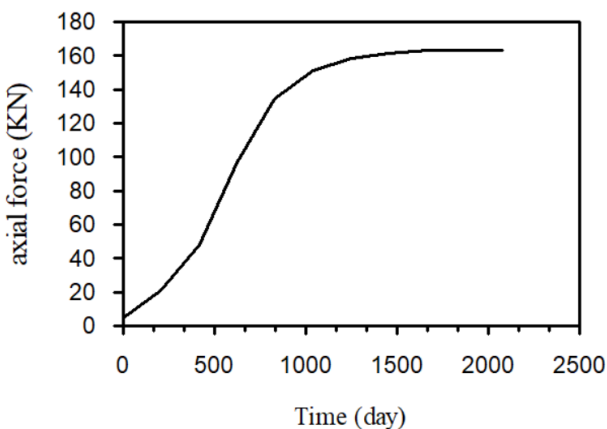
بدنه‌ی چاه خاک اطراف را مانند غلاف در برگرفته و از حرکت آن جلوگیری می‌کند [۲۷] در نتیجه هرچه از بدنه‌ی چاه دور می‌شویم جابه‌جایی‌ها (تورم) بیشتر می‌شود و در واقع بدنه‌ی چاه موجب کاهش تورم می‌شود. این امر نیز در پژوهش‌های پیشین مورد تایید قرار گرفته است [۲۸].

شکل ۱۵ (الف)، جابه‌جایی‌های قائم سطح خاک را در فاصله‌ی افقی نشان می‌دهد. همانطور که از نمودار پیداست، پس از حدود ۱۵ متر فاصله‌ی افقی از فولاد بدنه‌ی چاه، میزان جابه‌جایی قائم مقداری ثابت می‌شود.



شکل ۱۵. الف) نمودار جابه‌جایی قائم در طول افق، ب) نمودار جابه‌جایی قائم در طول زمان

Fig. 15. a) vertical displacement diagram along the horizon, b) vertical displacement diagram over time

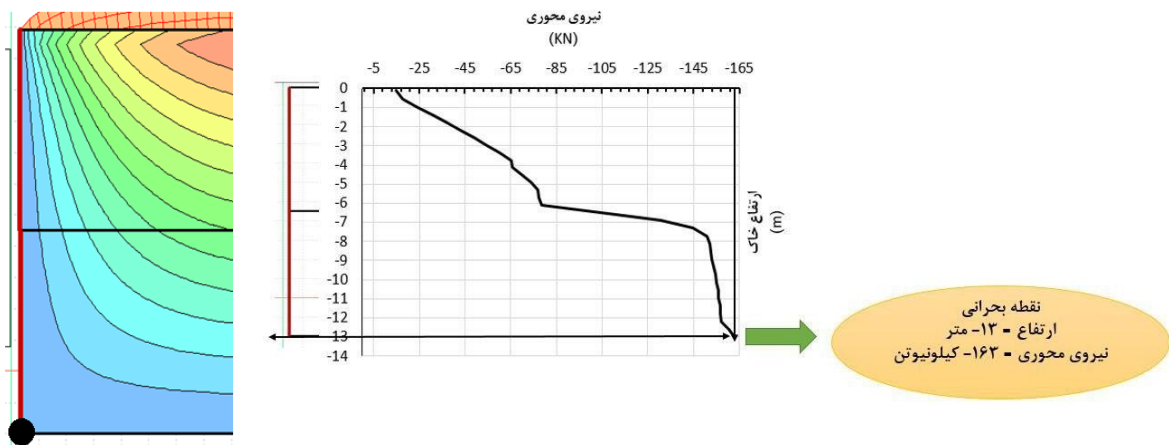


شکل ۱۶. نمودار نیروی محوری در طول زمان برای نقطه بحرانی در بدنه فولادی چاه

Fig. 16. Diagram of axial force over time for the critical point in the steel body of the well

در آن نقطه از نظر مکش بافتی و پارامترهای مقاومت برشی است. با افزایش مکش بافتی مدول الاستیسیتهای خاک افزایش و در نتیجه صلبیت خاک بیشتر و جابه‌جایی‌ها کمتر می‌شود. لذا نیروهای کششی ایجاد شده در شش متر بالایی فولاد بدنه‌ی چاه ناشی از تورم خاک کاهش می‌یابد و این موضوع دلیل ایجاد شکستگی‌هایی در نمودارهای نیروی محوری در طول بدنه فولادی چاه در زمان‌های مختلف است.

۴-۴- نیروها در بدنه فولادی چاه  
بر اثر ایجاد تورم در خاک نیروهای کششی در چاه ایجاد می‌شود. شکل ۱۶ نمودار نیروی کششی ایجاد شده در محیط بدنه‌ی دایره شکل فولادی چاه را بعد از یک، دو، سه سال و در انتهای زمان برای نقطه بحرانی (شکل ۱۷) نشان می‌دهد. در همه‌ی نمودارها تغییری در نیروی محوری در میانه‌ی ارتفاع مدل دیده می‌شود که این تفاوت رفتاری ناشی از تغییر در نوع خاک



شکل ۱۷. نمایش نقطه بحرانی پس از پایان مدت زمان مدلسازی ۲۰۸۳ days

Fig. 17. Showing the critical point after the end of the modeling period of 2083 days

جدول ۵. حداقل ضخامت و سطح مقطع موردنیاز برای غلاف فولادی چاه

Table 5. The minimum thickness and cross-sectional area required for the steel casing of the well

روش	معادله	$P_n$ (kN)	$F_u$	$A_n$ (cm <sup>2</sup> )	ضخامت (cm)
LRFD	$A_n = \frac{P_n}{F_u \times 0.75}$	۱۶۳	۶۵۵۰۰۰	۳.۳	۰.۰۱۶
ASD	$A_n = \frac{P_n \times 2}{F_u}$	۱۶۳	۶۵۵۰۰۰	۴.۹۷	۰.۰۲۴

ضخامت دورترین فولاد مورد استفاده‌ی فعلی  $1/61\text{ cm}$  است. با توجه به مقادیر بدست آمده در جدول ۵ می‌توان گفت که ضخامت فولاد کارگذاشته برای مقاومت کششی در برابر تورم خاک رسانی کافی بوده و اگر خوردگی گسترده‌ی فولاد مطرح نباشد، گسیختگی کششی رخ نخواهد داد. این امر در تطابق خوبی با نتایج حاصل از پژوهش‌های پیشین قرار دارد [۲۹ و ۳۰].

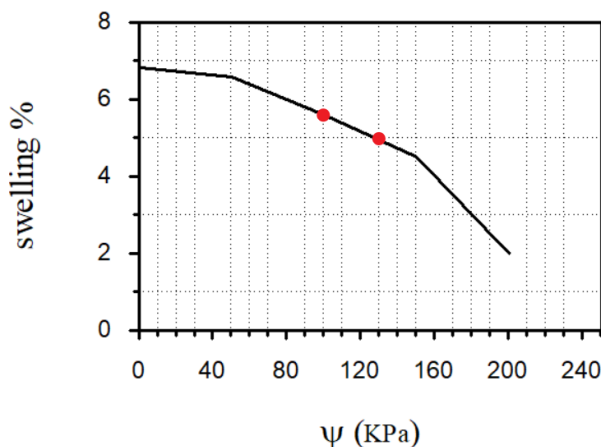
۴-۵- مقایسه‌ی مدل‌سازی با نتایج آزمایشگاهی نادی بزدی و همکاران [۱۴] درصد تورم خاک مورد نظر را در مکش‌های بافتی مختلف با شروع از مکش بافتی بسیار بالا (مکش بافتی اولیه  $= 3000\text{ kPa}$ ) تا مکش بافتی صفر به دست آورده‌ند. نتایج آزمایش‌ها

همانطور که در شکل ۱۶ میتوان دید، بیشترین نیروی محوری در پایین‌ترین قسمت بدنه‌ی چاه (نقطه بحرانی) ایجاد می‌شود. به عبارتی میتوان بیان داشت آن نقطه از خاک که در پایان زمان مدل‌سازی دارای بیشترین مقدار نیروی محوری باشد، نقطه بحرانی درنظر گرفته می‌شود. از آنجایی که دیده شد، بعد از ۱۶۰۰ روز جریان آب در خاک ثابت شده و تورمی در خاک وجود ندارد، لذا نیروهای محوری بعد از آن زمان در بدنه‌ی چاه ثابت می‌شوند. نیروی محوری ایجاد شده‌ی حداکثر  $163\text{ kN}$  گزارش می‌شود که به آن نقطه بحرانی اطلاق می‌شود. با توجه به روابط موجود برای محاسبه حداقل سطح مقطع مجاز برای فولاد موردنظر، جدول ۵ حداقل سطح مقطع و ضخامت موردنیاز را نشان می‌دهد.

### جدول ۶. میزان تورم آزاد در مکش‌های بافتی مختلف [۱۴]

Table 6. The amount of free swelling in different matrix suctions [14]

تغییر حجم (%)	تورم (mm)	مکش بافتی (kPa)	مراحل آزمایش
صرف سرباره (kPa)			
۲۰۱	۰.۴۰۲	۲۰۰	۱
۴۵	۰.۹۰۱	۱۵۰	۲
۵۶	۱.۱۲	۱۰۰	۳
۶۵۸	۱.۳۱۶	۵۰	۴
۶۸۲	۱.۳۶۴	۰	۵



شکل ۱۸. نمودار درصد تورم در برابر مکش بافتی

Fig. 18. Swelling percentage against matric suction

دورم برای مکش بافتی  $100 \text{ kPa}$   $7.65\%$  است که اختلاف این دو درصد دورم برابر است با  $6.0\%$ . تفاوت این عدد با درصد دورم ناشی از مدل‌سازی (درصد دورم مدل‌سازی  $= 63\%$ )  $5\%$  است که نشان از صحت مدل‌سازی و همخوانی آن با مطالعات آزمایشگاهی دارد.

$=$  درصد دورم

$$-4E - 07 y^3 + 5E - 07y^2 - 0.0066 y + 6.8543 \quad (9)$$

در سربار صفر (سربار آزاد) در جدول ۶ آورده شده است. از داده‌های جدول ۶ می‌توان شکل ۱۸ را رسم کرده و معادله‌ی ۸ را بین مکش بافتی و درصد دورم خاک در بازه‌ی مکش بافتی صفر تا  $200 \text{ kPa}$  معرفی نمود که در آن  $7.65\%$  میزان مکش بافتی موجود می‌باشد.

در مدل‌سازی عددی که در این تحقیق انجام شد، ارتفاع مدل  $13 \text{ m}$  و میزان دورم آزاد حدکثری آن  $8/29 \text{ cm}$  ثبت شد. از تقسیم میزان دورم بر ارتفاع مدل درصد دورم خاک در مدل‌سازی عددی  $63/0\%$  به دست می‌آید. این درصد دورم ناشی از تغییر مکش خاک از  $100 \text{ kPa}$  به  $130 \text{ kPa}$  است که بر اساس رابطه‌ی ۹، درصد دورم در مکش  $130 \text{ kPa}$  معادل  $5\%$  درصد

## ۵- نتیجه‌گیری

### منابع

- [1] Chapman, Tim, Hilary Skinner, D. G. Toll, Kelvin Higgins, Mike Brown, and John Burland, eds. ICE Manual of Geotechnical Engineering Volume 2: Geotechnical design, construction and verification. Vol. 2. Emerald Group Publishing, 2023.
- Baradaran, Mohammad Saleh, Ramin Qazanfari, and Sajed Baradaran. "Study of soil reinforcement in the east of Mashhad using glass granule." *Materials Research Express* 10, no. 5 (2023): 055202.
- Baradaran, Sajed, and Mahmoud Ameri. "Investigation of rutting failure in asphalt mixtures and its improvement strategies." *Road* 31, no. 114 (2023): 53-70.
- Cui, Y. J., Ferrari, A., Gallipoli, D., Jommi, C., Laloui, L., Pirone, M., ... & Wheeler, S. *Unsaturated soil mechanics*. International Society of Soil Mechanics and Geotechnical Engineering, 2004.
- Huang, Runqiu, and W. U. Lizhou. "Stability analysis of unsaturated expansive soil slope." *Earth Science Frontiers* 14, no. 6 (2007): 129-133.
- Avsar, Elif, Resat Ulusay, and Harun Sonmez. "Assessments of swelling anisotropy of Ankara clay." *Engineering Geology* 105, no. 1-2 (2009): 24-31.
- Langrouri, Arya Assadi, and S. Shahaboddin Yasrobi. "A micro-mechanical approach to swelling behavior of unsaturated expansive clays under controlled drainage conditions." *Applied Clay Science* 45, no. 1-2 (2009): 8-19.
- Liang, C. H. E. N., Zong-Ze Yin, and Pei Zhang. "Relationship of resistivity with water content and fissures of unsaturated expansive soils." *Journal of China University of Mining and Technology* 17, no. 4 (2007): 537-540.
- Al-Yaqoub, Thamer H., Jafarali Parol, and Dobroslav Znidarcic. "Experimental investigation of volume change behavior of swelling soil." *Applied Clay Science* 137 (2017): 22-29.
- Feng, Jun, and Guangze Zhang. "Study on soil water and suction stress characteristics for unsaturated

در این تحقیق به مدل‌سازی عددی پیرامون خاک اطراف یکی از چاههای گاز خانگیران سرخس پرداخته شد. با نتایج حاصل از مدل‌سازی چاه گاز و خاک اطراف آن با در نظر گرفتن شرایط اقلیمی منطقه از ابتدای نیمه‌ی دوم سال ۱۳۹۷ تا انتهای نیمه‌ی اول سال ۱۳۹۸، میزان تورم خاک و نیروهای کششی ایجاد شده ناشی از آن در بدنه‌ی فولادی چاه تعیین و حداقل ضخامت لازم برای مقاومت در برابر این نیرو اعلام شد. نتایج حاصل از این پژوهش بصورت خلاصه در زیر آورده شده است:

-۱- با توجه به بارش‌های رخ داده مکش بافتی قبل از بارش در خاک  $130 \text{ kPa}$  بوده است. مدت زمان حدود  $\frac{3}{4}$  سال پس از اتمام سال بارانی زمان می‌برد تا بارش‌های یک سال پر بارش در عمق  $13 \text{ m}$  خاک تاثیر تورمی کامل بگذارد و به جریان پایدار برسد. تورم آزاد خاک بر اثر این بارندگی سالانه معادل  $8/49 \text{ cm}$  است که برابر  $0.63\%$  ارتفاع خاک است.

-۲- تورم در اطراف چاه بسیار کم و در فواصل دورتر از چاه تورم بیشتر می‌شود تا نهایتاً به تورم آزاد خاک می‌رسد. در نتیجه سازه‌ی چاه گاز موجب افزایش سختی و کاهش تورم خاک اطراف خود می‌شود. فاصله‌ی تاثیر این چاه که در آن تورم کاهش می‌یابد،  $15 \text{ m}$  گزارش شد.

-۳- در اثر تورم خاک نیروهای کششی در بدنه‌ی فولادی چاه پدید می‌آید که می‌تواند موجب بیرون کشیدگی و یا گسیختگی بدنه‌ی چاه شود. طبق نتایج مدل عددی انجام شده بیشترین نیروی کششی به پایین‌ترین نقطه‌ی لوله‌ی فولادی در عمق  $13 \text{ m}$  وارد شده و مقدار آن برابر  $163 \text{ kN}$  است که بر کل محیط چاه وارد می‌شود. در این بخش توصیه‌هایی جهت انجام پژوهش‌هایی که در آینده پیرامون این بحث انجام خواهد شد، به شرح زیر مطرح می‌شود:

- انجام آزمایش‌هایی بر روی ترکیبات این خاک متورم‌شونده با مواد بهبود دهنده برای کاهش تورم، بطور مثال پیشنهاد می‌شود در ساعی از اطراف چاه تا عمق مشخص قابل تعیین، خاکبرداری انجام شده و با مصالح مخلوط شده با سیمان جایگزین گردد.
- مدل‌سازی بارش‌های ده ساله بر روی خاک اطراف چاه خانگیران سرخس
- بررسی تاثیر موقعیت آب زیرزمینی بر تورم خاک و همچنین مدل‌سازی لایه‌ی آب زیرزمینی تحت فشار در منطقه

- no. 1 (1973): 97-104.
- United States. Bureau of Yards, and Docks. Building Maintenance: Structures. US Government Printing Office, 1963.
- McKeen, R. Gordon. Design of airport pavements for expansive soils. No. DOT/FAA/RD-81/25 Final Rpt. NTIS, 1981.
- Seed, H. Bolton, Richard J. Woodward Jr, and Raymond Lundgren. "Prediction of swelling potential for compacted clays." *Journal of the soil mechanics and foundations division* 88, no. 3 (1962): 53-87.
- Aubertin, Michel, Jean-Francois Ricard, and Robert P. Chapuis. "A predictive model for the water retention curve: application to tailings from hard-rock mines." *Canadian Geotechnical Journal* 35, no. 1 (1998): 55-69.
- Van Genuchten, M. Th. "A closed-form equation for predicting the hydraulic conductivity of unsaturated soils." *Soil science society of America journal* 44, no. 5 (1980): 892-898.
- Chen, Yanyan, Yuanming Lai, Hongwei Li, and Wansheng Pei. "Finite element analysis of heat and mass transfer in unsaturated freezing soils: Formulation and verification." *Computers and Geotechnics* 149 (2022): 104848.
- Karbalaei, Ali Reza, Zahra Hedjazizadeh, and Seyed Abolfazl Masoodian. "Spatiotemporal variations of albedo using MODIS and PCA analysis in Iran." *Theoretical and Applied Climatology* 145, no. 1 (2021): 245-260.
- Cheuk, C. Y., W. A. Take, M. D. Bolton, and J. R. M. S. Oliveira. "Soil restraint on buckling oil and gas pipelines buried in lumpy clay fill." *Engineering structures* 29, no. 6 (2007): 973-982.
- Scanlon, Bridget R., Jean Phillippe Nicot, and Joel W. Massmann. "Soil gas movement in unsaturated systems." *Soil physics companion* 389 (2002): 297-341.
- Nie, Zhen, Shuzhe Shi, Bohong Wu, and Xueqin Huang. "Axial Force Calculation Model for Completion String with Multiple Point Resistances in Horizontal Well." *Processes* 11, no. 9 (2023): 2621.
- clay soil of airport engineering based on laboratory tests." *Geofluids* 2021, no. 1 (2021): 5233045.
- Trinh, Minh Thu. "Coupled and uncoupled approaches for the estimation of 1-d heave in expansive soils due to transient rainfall infiltration: a case study in central Vietnam." *GEOMATE Journal* 17, no. 64 (2019): 152-157.
- Rajeev, Pathmanathan, and Jayantha Kodikara. "Numerical analysis of an experimental pipe buried in swelling soil." *Computers and Geotechnics* 38, no. 7 (2011): 897-904.
- Al-Juari, Khawla AK, Mohammed Y. Fattah, Suhail IA Khattab, and Mohammed K. Al-Shamam. "Simulation of behaviour of swelling soil supported by a retaining wall." *Proceedings of the Institution of Civil Engineers-Structures and Buildings* 175, no. 4 (2022): 293-302.
- Yazdi, Amir Nadi, Ali Akhtarpour, Mustafa M. Abdalhusein, and Mohammad Saleh Baradaran. "Experimental Investigation of the Volume Change of a Swelling Clay and Its Improvement." *Transportation Infrastructure Geotechnology* (2023): 1-24.
- Mahedi, Masrur, Bora Cetin, and David J. White. "Performance evaluation of cement and slag stabilized expansive soils." *Transportation Research Record* 2672, no. 52 (2018): 164-173.
- Baradaran, Sajed, Jamal Rahimi, Mahmoud Ameri, and Ali Maleki. "Mechanical performance of asphalt mixture containing eco-friendly additive by recycling PET." *Case Studies in Construction Materials* 20 (2024): e02740.
- Ayar, Pooyan, Sajed Baradaran, and Sepehr Abdipour Vosta. "A review on the effect of various additives on mechanical properties of stone mastic asphalt (SMA)." *Road* 30, no. 110 (2022): 57-86.
- Kermani, Sajjad, Mahdi Deymi-Dashtebayaz, and Esmail Lakzian. "Investigation of the effects of wind velocity and flame pulldown on flare flame shape in Khangiran gas refinery." *Heat and Mass Transfer* 58, no. 6 (2022): 991-1004.
- Dakshanamurthy, V., and V. Raman. "A simple method of identifying an expansive soil." *Soils and foundations* 13,

Conference on Offshore Mechanics and Arctic Engineering, vol. 41979, pp. 629-636. 2005.

Fyrlieiv, Olav, and Leif Collberg. "Influence of pressure in pipeline design: effective axial force." In International

چگونه به این مقاله ارجاع دهیم

M. Balighi , M.S. Baradaran , A. Akhtarpour , Numerical investigation of swelling soil behavior and its effect on gas well casing internal forces based on unsaturated soil mechanics, case study: Khangiran, Sarakhs, Amirkabir J. Civil Eng., 56(7) (2024) 885-908.

DOI: [10.22060/ceej.2024.22616.8006](https://doi.org/10.22060/ceej.2024.22616.8006)



